

## Billiardo dinamico

Vladimir Georgiev, Irena Georgieva, Veneta Nedyalkova

### 1 Breve introduzione

Il biliardo dinamico é un sistema dinamico che corrisponde al movimento di una particella di massa fissa in un dominio con frontiera abbastanza regolare con un rimbalzamento elastico. Questo tipo di modelli appaiano in modo naturale quando si studiano problemi della ottica, fenomeni acaustici e la meccanica classica. Il modello di Bolzman per esempio si puo semplificare e ridurre al modello del biliardo.

Il biliardo puo essere collegato con movimento libero di una particella (chiamata palla del biliardo) che rimbalza in modo elastico alla frontiera.

Questo significa che il punto si muove con velocità costante (diciamo uguale a 1). Sulla frontiera la particella rimbalza in modo tale che la parte tangenziale della velocità rimane la stessa, mentre la componente normale cambia solo il segno. Nel piano questa proprietà é ben collegata con la famosa legge di riflessione. Questo argomento mostra la vicinanza della teoria del biliardo e l'ottica geometrica.

Un esempio interessante (tavola da biliardo) si vede sulla Figura 6



Figure 1: Elliptic table

Il biliardo piú semplice é il caso di una circonferenza. Sia  $\kappa = \kappa(O, r)$  é il cerchio con centro  $O$  e raggio  $r > 0$  (vedi la Figura 2). Se  $S_0$  é un punto sul cerchio  $\kappa$  della Figura 2 e questo punto é il punto di partenza del raggio che interseca nel punto  $S_1$  la frontiera come punto d'intersezione successivo allora nel punto  $S_1$  abbiamo rimbalzo con angole d'arrivo  $\alpha_1$  uguale l'angolo dopo il rimbalzo notato con  $\beta_2$ . Dopo la riflessione la traiettoria del biliardo si estende e noi arriviamo al punto successivo del rimbalzo, notato con  $S_2$ , dove il rimbalzo successivo succede e abbiamo

$$\alpha_2 = \beta_2.$$

Ogni traiettoria é definita del punto di partenza  $S_0$  e dai punti

$$S_1, S_2, \dots$$

di rimbalzo sulla frontiera successivo (in questo caso il cerchio  $\kappa$ ).

La prima osservazione é che abbiamo le relazioni

$$\alpha_1 = \beta_1 = \alpha_2 = \beta_2 = \dots,$$

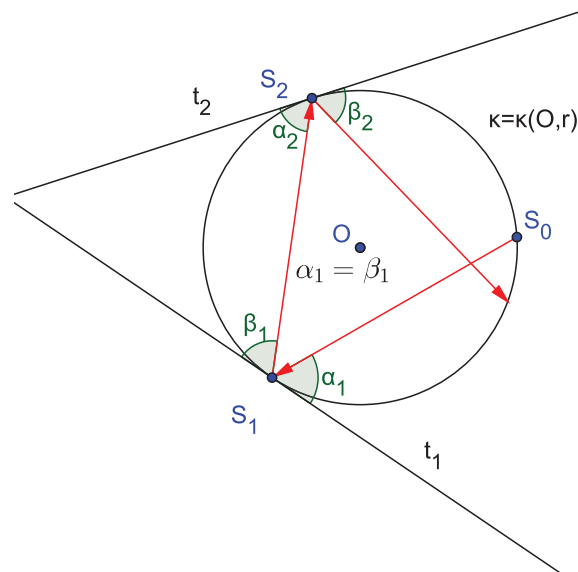


Figure 2: Tavola da biliard col forma di cerchio

cioé ogni trajetoria ha un angolo costante con la frontiera.

D'altra parte, la stesa trajetoria rimane tangente rispetton un circonferenza concentrica a quella di partenza. Possiamo usare un software Geogebra per vedere con la simulazione interattiva un fenomeno simile. Il link é il seguente [Il biliardo su tavola di tipo circonferenza](#)

La seguente applicazione di geogebra permette di utilizzare una combinazione tra Java e Geogebra.

Il link alla simulazione di Geogebra

Uno puo verificare che ogni tajetoria rimane tangente alla circonferenza concentrica.

Se  $S_0$  é un punto sulla ellisse della Figura 5 e questo e' punto di partenza del biliardo sia  $S_1$  e' il primo punto successivo del rimbalzo allora nel punto  $S_1$  abbiamo il solito legge del rimbalzo, il punto successivo del rimbalzo é  $S_2$  etc.

Siamo in grado di introdurre la nozione della caustica Before we proceed any further we introduce a new concept.

**Definition 1.** *Una caustica nel piano del biliardo é una curva tale che il biliardo rimane sempre tangente rispetto la curva.*

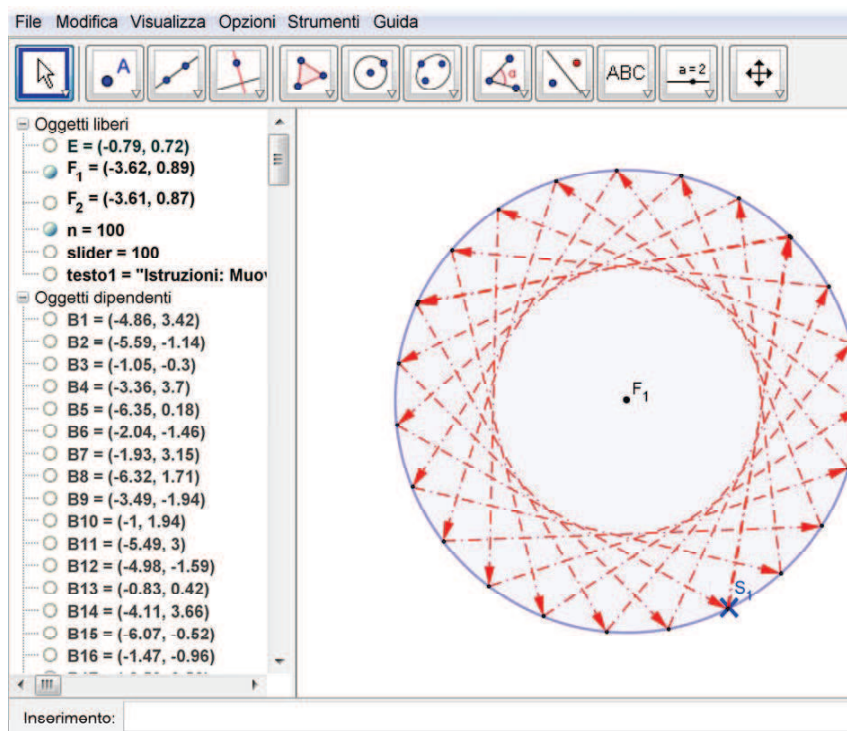
Cosí le caustiche nel caso di un biliardo cerchio sono cerchi concentrici.

Il caso successivo é quello delle coniche. Per un ellisse sappiamo che la somma delle distance di qualsiasi punto sulla ellisse ai due foci é costante. La hiperbola ha una proprietá simile.

Le ellisse, iperolae e le parabole hanno equazione quadratica nel piano.

## 2 Proprieta semplici dei biliardi

Abbiamo la seguente proprietá semplice.



Created with [GeoGebra](https://www.geogebra.org/m)

Figure 3: Il biliardo nella circonferenza

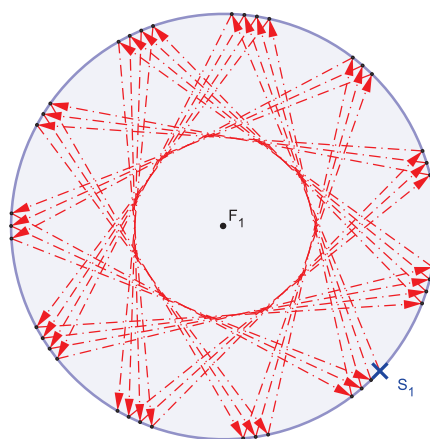


Figure 4: Geogebra application for Circle

**Lemma 1.** *Se il biliardo parte da uno dei foci dopo il primo rimbalzo deve attraversare l'altro foci.*

*Proof.* Possiamo provare a risolvere il seguente problema di ottimizzazione: data una rete  $\ell$  e due punti  $F_1$  e  $F_2$  su una parte della rete, trovare un punto  $X$  tale che la distanza  $|F_1X| + |XF_2|$  é minimale. Soluzione: usare riflessione del punto  $F_1$  rispetto la rete e collegare  $F_2$  con questo

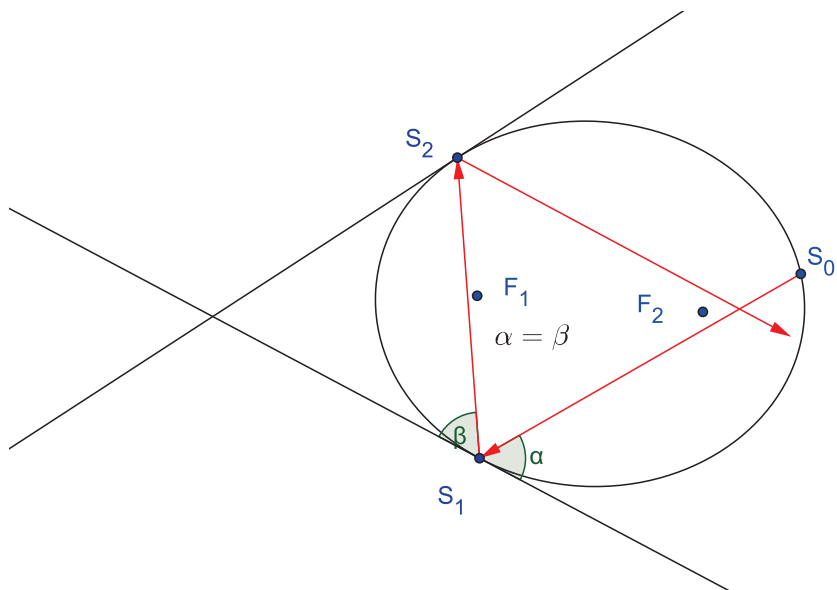


Figure 5: Billiard table

punto.

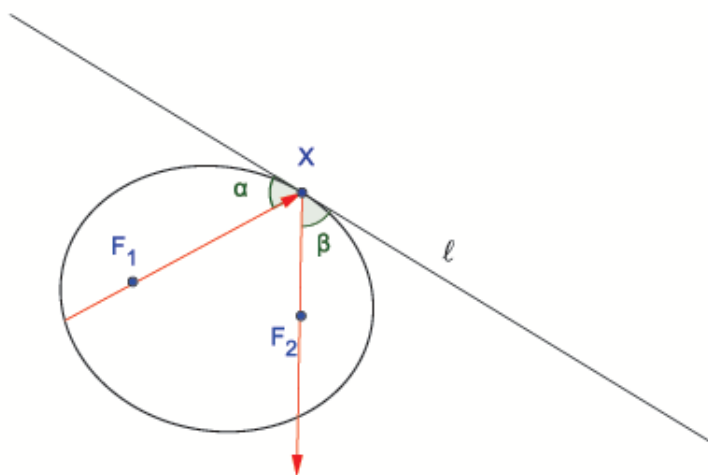


Figure 6: Basic property of ellipse

Il punto dell'intersezione del  $\ell$  sia  $X$ . Otteniamo che gli angoli dei segmenti  $F_1X$  e  $F_2X$  e l'ellisse  $\ell$  sono uguali. Consideriamo la famiglia delle ellisse con foci  $F_1$   $F_2$  fissati. Allora  $X$  è il punto dove per la prima volta  $\ell$  è toccata della famiglia delle ellisse. Così  $X$  è un punto dove la rete tangente ha i stessi angoli con gli segmenti  $XF_1$  e  $XF_2$ .

□

In modo simile si possano verificare le proprietà di propagazione e riflessione della luce per l'iperbola e la parabola. Queste proprietà sono fondamentali nella costruzione di varie strumenti ottiche.

**Exercise 1.** *Se il raggio della luce parte da uno dei foci della parabola, allora il raggio riflesso è parallelo all'asse  $Ox$ .*

Se due ellisse hanno i stessi foci si chiamano confocali. La stessa cosa si può dire per due iperbole. In riferimento Cartesiano le equazioni sono le seguenti

$$\frac{x^2}{a^2 + \lambda} + \frac{y^2}{b^2 + \lambda} = 1, \quad (1)$$

con  $0 < a < b$ . Qui  $\lambda$  è un parametro; per  $-b^2 < \lambda < -a^2$  la curva è iperbole, mentre per  $-a^2 < \lambda$  è ellisse.

**Theorem 1.** *In un biliardo ellittico, un'orbita che passa per un fuoco dopo il rimbalzo passa per l'altro fuoco. Un biliardo ellittico ha una famiglia di caustiche, formato delle ellisse confocali o iperbole confocali. Più precisamente, se un segmento della orbita non ha punto d'intersezione con il segmento che collega i due foci, allora l'orbita rimane sempre senza punti di intersezione con il segmento  $F_1F_2$  e rimane tangente alla ellisse confocale. Se un segmento della orbita ha punto d'intersezione con il segmento che collega i due foci, allora ogni segmento della orbita interseca il segmento  $F_1F_2$  e rimane tangente alla iperbole confocale.*

*Proof.* Sia  $A_0A_1$  e  $A_1A_2$  sono due segmenti consecutivi della orbita. Sia  $A_0A_1$  non ha punti di intersezione con  $F_1F_2$ . La proprietà ottica dimostra che  $\angle A_0A_1F_1$  e  $\angle A_2A_1F_2$  sono uguali.

Dopo una riflessione del punto  $F_1$  rispetto a (rispettivamente) una retta  $A_0A_1$  abbiamo il punto  $F'_1$ , facendo la riflessione del punto  $F_2$  rispetto alla retta  $A_1A_2$  otteniamo il punto  $F'_2$ . Poniamo:  $G = F'_1F_2 \cap A_0A_1$ ;  $H = F'_2F_1 \cap A_1A_2$ . Consideriamo l'ellisse con foci  $F_1$  e  $F_2$ , tale che l'ellisse è tangente al segmento  $A_0A_1$ . L'uguaglianza tra gli angoli  $\angle F_2GA_1$  e  $\angle F_1GA_0$  mostra che l'ellisse tocca  $G$ . In modo simile l'ellisse con foci  $F_1$  e  $F_2$  tocca  $A_1A_2$  nel punto  $H$ . Le due ellisse coincidano, cioè  $F_1B + BF_2 = F_1C + CF_2$ , e questo si può riscrivere come  $F'_1F_2 = F_1F'_2$ . Osserviamo che  $\triangle F'_1A_1F_2$  e  $\triangle F_1A_1F'_2$  sono congruenti:

$$F'_1A_1 = F_1A_1; \quad F_2A_1 = F'_2A_1$$

per la simetria, e gli angoli  $\angle F'_1A_1F_2$  and  $\angle F_1A_1F'_2$  sono uguali. Dunque

$$F'_1F_2 = F_1F'_2,$$

e il risultato segue. □

Uno può usare l'applicazione di Geogebra per vedere caustiche iperboliche (come nella Figura 8 e ellittico (vedi la Figura 9).

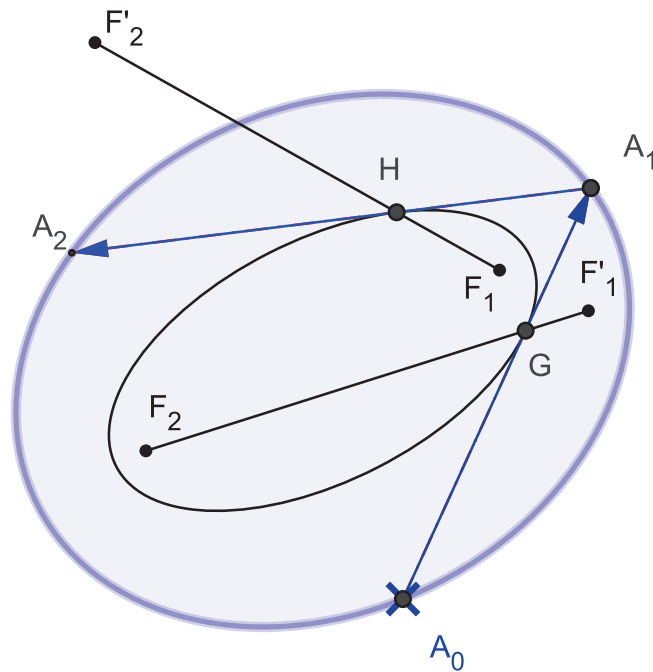


Figure 7: Caustiche

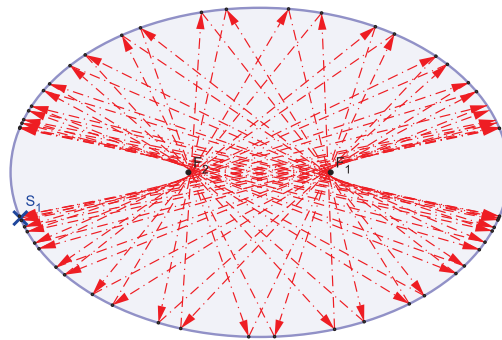


Figure 8: Hyperbolic Caustics

### 3 Le orbite piu semplici - triangoli periodici.

Come prima simulazione si puo' utilizzare l'applicazione Geogebra per trovare l'orbita periodica triangolo all'interno tavolo da biliardo definita dall'equazione

$$e : \frac{x^2}{a^2} + \frac{y^2}{b^2} = 1. \quad (2)$$

Come semplice punto iniziale si sceglie il vertice del triangolo  $\Delta A_0A_1A_2$  tale che  $A_0$  sia sull'asse

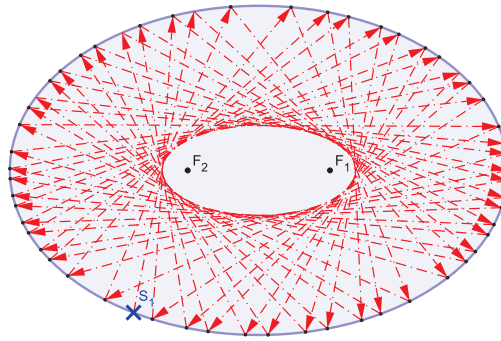


Figure 9: Elliptic Caustics

$y = A_0(0, b)$ . Poi é naturale aspettarsi che se esiste un triangolo periodico, quindi (con simmetria rispetto l'asse  $y$ ) ha due lati uguali ( $A_0A_1 = A_0A_2$ ), vedi la Figura 10.

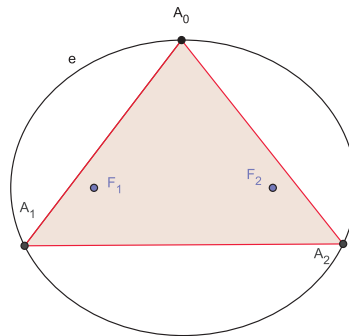


Figure 10: Il problema di trovare triangolo periodico da  $A_0$ .

Tuttavia non é chiaro come trovare il punto  $A_1$  per esempio, percheé poi  $A_2$  é simmetrico al punto  $A_1$  rispetto l'asse  $y$ .

Ricordando l'affermazione del Teorema 1, si puo' vedere che se  $\Delta A_0A_1A_2$  é periodico, quindi la sua caustica é un'ellisse confocale, diciamo

$$e_1 : \frac{x^2}{a_1^2} + \frac{y^2}{b_1^2} = 1. \quad (3)$$

L'equazione (2) mostra ora che la condizione  $e$  e  $e_1$  sono confocale, vale a dire avere le stesse fochi  $F_1$  e  $F_2$  si puo' riscrivere come

$$a^2 - b^2 = a_1^2 - b_1^2. \quad (4)$$

Noi supponiamo  $e_1$  é dentro  $e$  allora abbiamo  $a > b > 0, a_1 > b_1 > 0, a > a_1, b > b_1$ . In questo modo possiamo riformulare la nostra domanda:

- Dato un punto  $A_0(0, b)$  trovare una ellisse  $e_1$  del tipo (3) dentro l'ellisse  $e$  in modo che le due tangenti da  $A_0$  a  $e_1$  generano  $\Delta A_0A_1A_2$  iscritto in  $e$  e circoscritto intorno di  $e_1$  (vedi la Figura 11).

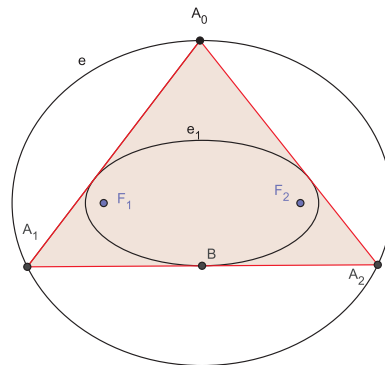


Figure 11: Caustic  $e_1$  del triangolo periodica

Anche ora la soluzione non e' ovvio e uno dovrebbe essere molto attento ad evitare i calcoli pesanti e inutili che non hanno un'idea chiara come base. Allora, cosa fare ? Si puo' guardare in Internet e vedere che la maggior parte dei documenti trovati non sono molto utili per gli insegnanti delle scuole superiori e per gli studenti. Cerchiamo di sottolineare il nostro scopo principale: utilizzare alcuni concreti "TOOLS" come: manipolazioni algebriche, l'uso di funzioni trigonometriche, applicazioni GeoGebra e cercare di porre e trovare una soluzione ad alcuni problemi interessanti legati al biliardo sul tavolo ellisse.

Quindi cerchiamo di generare diversi "semplice" domande e poi cercheremo di collegarli e di chiarire la nostra strategia per affrontare il problema principale di questa sezione: costruire almeno un triangolo periodico in modo esplicito in una ellisse data (2).

Una possibile elenco di domande e' la seguente:

- Data l'ellisse  $e_1 : x^2/a_1^2 + y^2/b_1^2 = 1$  e una linea  $y = kx + b$  attraverso il punto  $A_0(0, b)$ , trovare una condizione necessaria e sufficiente (su  $k, b, a_1, b_1$ ) in modo che la linea e' tangente all'ellisse  $e_1$ ;
- Data l'ellisse  $e_1 : x^2/a_1^2 + y^2/b_1^2 = 1$  e una linea  $y - y_0 = k(x - x_0)$  attraverso un punto qualsiasi  $A_0(x_0, y_0)$ , trovare una condizione necessaria e sufficiente tale che la linea e' tangente all'ellisse  $e_1$ ;
- Data l'ellisse  $e_1 : x^2/a_1^2 + y^2/b_1^2 = 1$  e il punto  $A_0(0, b)$  individuare le linee tangenti da  $A_0$  a  $e_1$  e trovare i punti  $A_1, A_2$  di intersezione di queste linee tangenti con l'ellisse  $e : x^2/a^2 + y^2/b^2 = 1$ ;
- Data l'ellisse  $e_1 : x^2/a_1^2 + y^2/b_1^2 = 1$  e i punti  $A_1, A_2$  descritti nel passaggio precedente trovare una condizione necessaria e sufficiente tale che la retta  $A_1A_2$  sia tangente a  $e_1$ ;
- Utilizzando il rapporto del passo precedente nonche' il fatto che  $e, e_1$  hanno i stessi fochi, ( $a^2 - b^2 = a_1^2 - b_1^2$ ) esprimere  $a_1, b_1$  in termini di  $a, b$ .

Ciascuna di queste fasi non e' molto difficile e diamo i punti principali nella soluzione lasciando alcuni dettagli ripetuti al lettore. I risultati sono ordinati in pochi Lemmi presentati in appendice.



#### 4 Eventuali ulteriori passi per trovare triangoli periodici

Si può usare una simmetria banale e di vedere la presa  $A'_0(0, -b)$  simmetrica a  $A_0$  rispetto a  $x$ -asse abbiamo un altro triangolo periodico simmetrico a quello originale  $\Delta A_0A_1A_2$  dal Lemma 6. Il passo successivo è scegliere diverso punto di partenza per la traiettoria periodica e ripetere il programma precedente.

- Data l'ellisse  $e_1 : x^2/a_1^2 + y^2/b_1^2 = 1$  e il punto  $A_0(a, 0)$  sia  $t_1, t_2$  la retta tangente da  $A_0$  a  $e_1$  e sia  $A_1, A_2$  i punti di intersezione di queste linee tangenti con l'ellisse  $e : x^2/a^2 + y^2/b^2 = 1$ , tale che  $A_1(x_1, y_1), x_1 < 0, A_2(x_2, y_2), x_2 > 0$ . Prova a trovare le coordinate di  $A_1, A_2$ ;
- Data l'ellisse  $e : x^2/a^2 + y^2/b^2 = 1$  e il punto  $A_0(a, 0)$  prova a trovare un ellisse  $e_1 : x^2/a_1^2 + y^2/b_1^2 = 1$  e un triangolo periodico  $\Delta A_0A_1A_2$  tale che  $e_1$  è la caustica del triangolo periodico. Cercate di esprimere  $a_1, b_1$  tramite  $a, b$ .

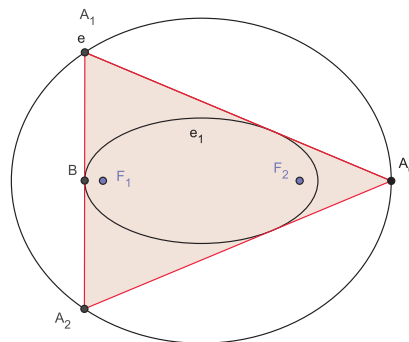


Figure 12: Un altro punto iniziale  $A_0$

Si può vedere che le espressioni per  $a_1, b_1$  sono le stesse espressioni da Lemma 6.

Un'altra applicazione Geogebra estremamente interessante è l'attivazione del pulsante animazione sul punto  $A_0$ .

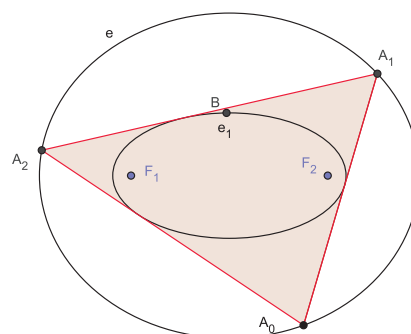


Figure 13: Sorpresa quando  $A_0$  si muove su  $e$ : linee tangenti rimangono tangente alla caustica  $e_1$ .

Questa simulazione e' molto importante perche' ci porta a nuove domande aperte. Possiamo fare la seguente congettura.

**Conjecture 1.** *Se  $A_0$  e' un punto QUALSIASI sull'ellisse  $e$ , allora l'ellipse  $e_1$  e' definito in base al Lemma6 e le due linee tangenti a  $e_1$  da  $A_0$  intersecano l'ellipse e nei punti  $A_1, A_2$ , allora  $A_1A_2$  e' anche tangente a  $e_1$ .*

Questo fenomeno e' strettamente collegato con il Poncelet Porism (vedi [3], [6]). Una soluzione di questo problema si puo' trovare in [5].

Un'altra applicazione che e' cruciale per l'ulteriore studio del biliardo sull'ellisse e' l'attivazione di alcuni strumenti di misurazione di Geogebra e di valutare come variare le seguenti grandezze, quando  $A_0$  si muove sull'orbita di  $e$ :

- perimetro del triangolo periodico;
- area del triangolo periodico;
- angoli del triangolo periodico;

Dopo aver fatto questo esperimento si puo' scoprire (purtroppo solo numericamente!) la seguente proprieta' interessantissima.

**Exercise 2.** *Se  $A_0$  e' un punto qualsiasi sull'ellipse  $e$ , allora esiste un triangolo unico periodico  $\Delta A_0A_1A_2$  con perimetro costante!!!*

Noi non siamo disposti in questo momento per risolvere questo esercizio, ma si possono fare le seguenti operazioni per verificare parzialmente la congettura.

- prendere  $A_0(0, b)$  e calcolare il perimetro  $P_1$  del triangolo periodico corrispondente;
- scegliere  $A_0(a, 0)$  e calcolare il perimetro  $P_3$  del triangolo periodico corrispondente;
- confrontare  $P_1$  e  $P_2$ .

Si puo' verificare che (vedi[4])

$$P_1 = P_2 = \frac{4a^2b(a + a_1)\sqrt{a^2 - a_1^2}}{b^2a_1^2 + a^2(a^2 - a_1^2)}.$$

## 5 Appendice I: Tre lemmi tecnici

**Lemma 2.** *Data l'ellisse  $e_1 : x^2/a_1^2 + y^2/b_1^2 = 1$  si puo' esprimere la condizione necessaria e sufficiente tale che la linea  $y = kx + b$  attraverso il punto  $A_0(0, b)$  sia tangente a  $e_1$  come segue*

$$k^2 = \frac{b_2 - b_1^2}{a_1^2}.$$

*Proof.* Sostituendo  $y$  con  $kx + b$  in (3) implica

$$\frac{x^2}{a_1^2} + \frac{k^2x^2 + 2kbx + b^2}{b_1^2} = 1. \quad (5)$$

L'equazione ha una soluzione reale, così dobbiamo avere

$$\frac{b^2k^2}{b_1^4} - \left(\frac{1}{a_1^2} + \frac{k^2}{b_1^2}\right) \left(\frac{b^2}{b_1^2} - 1\right) = 0$$

e questa identità é equivalente a

$$k^2 = \frac{b_2 - b_1^2}{a_1^2}.$$

Questo completa la dimostrazione del Lemma.  $\square$

**Lemma 3.** Data l'ellisse  $e_1 : x^2/a_1^2 + y^2/b_1^2 = 1$  si può esprimere la condizione necessaria e sufficiente tale che la linea  $y - y_0 = k(x - x_0)$  attraverso il punto  $A_0(x_0, y_0)$  sia tangente a  $e_1$  come segue

$$(y_0 - kx_0)^2 = b_1^2 + k^2a_1^2.$$

**Lemma 4.** Data l'ellisse  $e_1 : x^2/a_1^2 + y^2/b_1^2 = 1$  e il punto  $A_0(0, b)$  sia  $t_1, t_2$  la retta tangente da  $A_0$  a  $e_1$  e sia  $A_1, A_2$  i due punti d'intersezione con l'ellipse  $e : x^2/a^2 + y^2/b^2 = 1$ , tale che  $A_1(x_1, y_1), x_1 < 0, A_2(x_2, y_2), x_2 > 0$ . Allora abbiamo

$$x_1 = -\frac{2a^2a_1b\sqrt{b^2 - b_1^2}}{a_1^2b^2 + a^2(b^2 - b_1^2)} = -x_2,$$

$$y_1 = -M = y_2, \quad M = \frac{a^2b(b^2 - b_1^2)}{a_1^2b^2 + a^2(b^2 - b_1^2)}.$$

*Proof.* Sostituendo  $y$  con  $kx + b$  in (2), otteniamo

$$\frac{x^2}{a^2} + \frac{k^2x^2 + 2kbx + b^2}{b^2} = 1. \quad (6)$$

Una delle soluzioni é 0 mentre l'altra é

$$x_1 = -\frac{2ka^2b^2}{b(b^2 + k^2a^2)} = -\frac{2ka^2b}{(b^2 + k^2a^2)}.$$

Possiamo usare l'espressione di  $k$

$$k = \pm \frac{\sqrt{b^2 - b_1^2}}{a_1}$$

e considerando il fatto che  $x_1 < 0$  otteniamo

$$x_1 = -\frac{2a^2a_1b\sqrt{b^2 - b_1^2}}{a_1^2b^2 + a^2(b^2 - b_1^2)}.$$

Usando la relazione

$$y = kx + b$$

concludiamo

$$y_1 = -\frac{a^2b(b^2 - b_1^2)}{a_1^2b^2 + a^2(b^2 - b_1^2)}.$$

Questo completa la dimostrazione del Lemma.  $\square$

**Lemma 5.** *Data l'ellisse  $e_1 : x^2/a_1^2 + y^2/b_1^2 = 1$  e il punto  $A_0(0, b)$  sia  $A_1(x_1, y_1), x_1 < 0, A_2(x_2, y_2), x_2 > 0$  sono i punti descritti in Lemma 5. Allora  $A_1A_2$  é tangente a  $e_1$  se e solo se*

$$a_1 = \frac{a(\sqrt{a^4 - a^2b^2 + b^4} - b^2)}{a^2 - b^2},$$

$$b_1 = \frac{b(a^2 - \sqrt{a^4 - a^2b^2 + b^4})}{a^2 - b^2}.$$

Per evitare l'accumulo di prove tecniche troppo pesanti citiamo [4] per l'idea della dimostrazione.

In pratica, Lemma 5 risponde alla domanda di trovare la caustica dei triangoli periodiche in una ellisse  $e$ . Dal momento che sembra essere difficile trovare questa risposta semplice nella letteratura o in Internet abbiamo fatto questo sforzo per dare la risposta con strumenti completamente elementari e manipolazioni algebriche). Si può paragonare questa risposta con i risultati classici di Cayley in[1], [2], integrali ellittici in cui vengono utilizzati. Il risultato é utile e può essere utilizzato in alcuni algoritmi in GeoGebra (o alcuni altri strumenti informatici) connesse con tavoli da biliardo. In questa direzione possiamo citare la difficoltà incontrata quando si cercava di implementare script Java in Geogebra e simulare una traiettoria non periodico con  $N \gg 1$  punti di rimbalzo. Si scopre che la costruzione della bisettrice come strumento di Geogebra combinato con Java script, crea alcune limitazioni  $N, N \leq 100$ .

Alla fine abbiamo una variazione del Lemma 5.

**Lemma 6.** *Data l'ellisse  $e : x^2/a^2 + y^2/b^2 = 1$  e il punto  $A_0(0, b)$  si può trovare un'ellisse  $e_1 : x^2/a_1^2 + y^2/b_1^2 = 1$  e unico triangolo periodico  $\Delta A_0A_1A_2$  tale che  $e_1$  é la caustica del triangolo periodico. Valgono le relazioni*

$$a_1 = a \frac{\sqrt{s^4 - s^2 + 1} - s^2}{1 - s^2}, \quad b_1 = b \frac{1 - \sqrt{s^4 - s^2 + 1}}{1 - s^2},$$

wheredove

$$s = \frac{b}{a} \in (0, 1).$$

## 6 Appendice 2: applet Java

Applet di GeoGebra utilizza la tecnologia Java per combinare una geometria interattiva con la possibilità di inserire direttamente equazioni e coordinate. Questa possibilità é molto utile come mezzo aggiuntivo nel insegnamento di matematica. L'idea di base di interfaccia GeoGebra é di fornire due presentazioni di ogni oggetto matematico nelle finestre grafiche. Se si cambia un oggetto in una di esse, l'altro sarà immediatamente aggiornato. Sistemi informatici e software geometrico dinamico (ad esempio di Geometer Sketchpad, Geometria Cabri, e così via, ad esempio) sono potenti strumenti tecnologici per l'insegnamento della matematica. Numerosi i risultati della ricerca suggeriscono che questi pacchetti software possono essere utilizzati per incoraggiare la scoperta, la sperimentazione e visualizzazione in insegnamento tradizionale della matematica. Tuttavia, ricerche suggeriscono che, per la maggior parte degli insegnanti, il problema principale é come fornire la tecnologia necessaria nel insegnamento.

GeoGebra ha rapidamente guadagnando popolarità fra gli insegnanti e ricercatori di tutto il mondo, perché é facile di usarlo. Inoltre, a causa della sua natura open-source, una vasta comunità di utenti ha sviluppato il prodotto.

GeoGebra ha alcune possibilita' di effettuare l'animazione. Future sviluppi del software GeoGebra sono collegati con il sviluppo di metodi di algebra computazionale che aiuteranno ad aumentare i domini di possibili applicazioni in analisi matematica, e in 3D estensioni.

Un problema che abbiamo incontrato e' connesso con l'uso di applet Java per la produzione di elevato numero di punti di rimbalzo nel problema del biliardo.

Usiamo il seguente script Java.

```
function stopAll(){
ggbApplet.evalCommand("StartAnimation[false]");
ggbApplet.setAnimating("slider",false);
ggbApplet.setValue("slider",100);}
var i= new Number(ggbApplet.getValue("slider"));
var lim = new Number(ggbApplet.getValue("n"));
if(i==0){
ggbApplet.evalCommand("a_{0}=
Vettore[S_{"+i+"},S_{"+(i+1)+"}]");
ggbApplet.setLineStyle("a_{0}",4);
ggbApplet.setColor("a_{0}",255,0,0);}
else if(i>=lim){
stopAll();}
else if(ggbApplet.exists("S_{"+(i)+"}")){
if(ggbApplet.evalCommand("bis"+(i)+"=
Bisettrice[F_1,S_{"+(i)+"},F_2]")){
ggbApplet.setVisible("bis"+(i),false);
if(ggbApplet.evalCommand("B"+(i)+"=
Intersezione[c, bis"+(i)+",2]")){
ggbApplet.setVisible("B"+(i),false);
if(ggbApplet.evalCommand("alpha"+(i)+"=
Angolo[S_{"+(i-1)+"},S_{"+(i)+"},B"+(i)+"]"))
{ggbApplet.setVisible("alpha"+(i),false);
if(ggbApplet.evalCommand("R"+(i)+"=
Ruota[S_{"+(i-1)+"},2alpha"+(i)+",S_{"+(i)+"}]"))
{ggbApplet.setVisible("R"+(i),false);
if(ggbApplet.evalCommand("aa"+(i)+"=
Semiretta[S_{"+(i)+"},R"+(i)+"]")){
ggbApplet.setVisible("aa"+(i),false);
if(ggbApplet.evalCommand("S_{"+(i+1)+"}=
Intersezione[c,aa"+(i)+",2]")){
ggbApplet.setPointSize("S_{"+(i+1)+"}",1);
ggbApplet.setLabelVisible("S_{"+(i+1)+"}",false)
if(ggbApplet.evalCommand("a_{"+(i)+"}=
Vettore[S_{"+i+"},S_{"+(i+1)+"}]")){
ggbApplet.setLineStyle("a_{"+(i)+"}",4);
ggbApplet.setColor("a_{"+(i)+"}",255,0,0);
}}}}}}}}
else {stopAll();}}
```

## References

- [1] A. Cayley, *Note on the porism of the in-and-circumscribed polygon*, Philosophical magazine **6** (1853), 99102.
- [2] A. Cayley, *Developments on the porism of the in-and-circumscribed polygon*, Philosophical magazine **7** (1854), 339345.
- [3] V. Dragovic, M. Radnovic, *Poncelet Porisms and Beyond*, Birkhäuser, Springer-Basel, 2011.
- [4] V.Georgiev, V.Nedyalkova, *Perimeter of harmonic triangles in ellipse*, article in this book.
- [5] V.Georgiev, V.Nedyalkova, *Poncelet's porism and periodic triangles in ellipse*, article in this book.
- [6] S.Tabachnikov, *Geometry and Billiards*, Students Mathematica Library, (2005).